

А. Ш. ПЕТОЯН

УСТОЙЧИВОСТЬ КРУГЛОЙ ТРАНСВЕРСАЛЬНО-ИЗОТРОПНОЙ ПЛИТЫ ПРИ ЕЁ СЖАТИИ РАВНОМЕРНО РАСПРЕДЕЛЕННОЙ ПО КОНТУРУ РАДИАЛЬНОЙ НАГРУЗКОЙ

§ 1. Основное уравнение задачи

В статье [6] уточненная теория изгиба трансверсально-изотропной плиты во втором приближении приведена к интегрированию уравнений

$$\nabla^4 \Phi_0 = \frac{q}{D}, \quad \nabla_r^2 \varphi - \frac{2}{s_0^2 h^2} \varphi = 0, \quad (1.1)$$

где D — цилиндрическая жесткость, h — полутолщина плиты, q — поперечная нагрузка;

$$D = \frac{2Eh^3}{3(1-\nu^2)}, \quad s_0^2 = \frac{G}{G_1}, \quad (1.2)$$

E и G — упругие постоянные в плоскостях изотропии, параллельных срединной плоскости, G_1 — модуль сдвига в перпендикулярном направлении.

При осесимметричных деформациях плиты $\varphi = 0$, и задача приводится к интегрированию первого из уравнений (1.1) при кинематических краевых условиях, налагаемых на прогиб w_0 и элементарное вращение ω_r , и статических условиях, налагаемых на поперечную силу N_r и радиальный изгибающий момент M_r на контуре плиты.

Перечисленные величины определяются через функцию Φ_0 формулами:

$$w_0 = \left[1 + \frac{3\nu_2 - 8s_0^2}{10(1-\nu)} h^2 \nabla_r^2 \right] \Phi_0, \\ \omega_r = \left[1 - \frac{7}{15} \frac{s_0^2 - \nu_2}{1-\nu} h^2 \nabla_r^2 \right] \frac{d\Phi_0}{dr}, \quad (1.3)$$

$$N_r = -D \frac{d}{dr} \nabla_r^2 \Phi_0,$$

$$M_r = -D \left(\frac{d^2}{dr^2} + \nu \frac{1}{r} \frac{d}{dr} - \frac{2}{5} \nu_2 h^2 \frac{1}{r} \frac{d}{dr} \nabla_r^2 \right) \Phi_0. \quad (1.4)$$

В рассматриваемых в данной статье задачах устойчивости вместо q нужно подставить

$$q = -T \nabla_r^2 w_0. \quad (1.5)$$

Уравнение устойчивости записывается в виде

$$\Delta_r^2 \Phi_0 + k \nabla^2 (1 - z^2 \nabla^2) \Phi_0 = 0, \quad (1.6)$$

где

$$\Delta_r^2 = \frac{d^2}{dr^2} + \frac{1}{r} \frac{d}{dr}, \quad \beta = \frac{r}{R}, \quad k = \frac{TR^2}{D}, \quad x^2 = \frac{8s_0^2 - 3\nu_2}{10(1-\nu_2)} \cdot \left(\frac{h}{R}\right)^2. \quad (1.7)$$

Общий интеграл уравнения (1.6) с учетом условий в центре плиты $\frac{dw_0}{dr} = 0$ и $N = 0$ при $z = 0$ записывается так:

$$\Phi_0 = c_1 f_0(\beta r) + c_2, \quad (1.8)$$

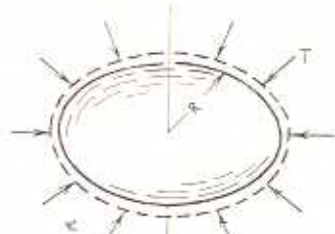
где $f_0(z)$ — функция Бесселя первого рода нулевого порядка, а коэффициент c_1 задается формулой

$$\beta^2 = \frac{k}{1 - x^2 k}. \quad (1.9)$$

§ 2. Плита, свободно опертая по контуру

В (1.8) постоянную c_2 можно принять равной нулю, а c_1 нужно определять из условий $M = 0$ при $z = 0$. Подставив (1.8) в уравнение (1.4) и учитывая, что

$$\begin{aligned} \nabla_r^2 f_0(i\beta) &= -i^2 f_0'(i\beta), \\ \frac{d}{dr} f_0(i\beta) &= -i f_1(i\beta), \end{aligned} \quad (2.1)$$



Фиг. 1.

получим характеристическое уравнение для определения i

$$f_1(i) - \frac{1 - \nu_2 - \beta^2}{i} f_0(i) = 0, \quad (2.2)$$

где

$$\beta^2 = \frac{2}{5} \nu_2 \frac{h^2}{R^2}. \quad (2.3)$$

Определив из (2.2) i , для критической нагрузки $T = T_{kp}$ получаем формулу

$$T_{kp} = k \frac{D}{R^2}, \quad k = \frac{i^2}{1 - x^2 i^2}. \quad (2.4)$$

При $\beta = 0$ формула (2.2) дает уравнение для определения i по классической теории изгиба плит. Как видно из (2.2), корни уравнения (2.2) зависят от величин ν_2 и β .

§ 3. Плита, зажатая по контуру

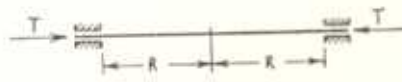
В этом случае характеристическое уравнение получается из условия $w_r = 0$ при $r = 1$. Имеем

$$f_1(i) = 0. \quad (3.1)$$

В отличие от предыдущего случая (2.2), здесь i определяется независимо от других параметров (β и μ). Наименьший корень уравнения (3.1) будет $i = 3,832$, поэтому для коэффициента первой критической нагрузки получаем формулу

$$k = \frac{14,68}{1 + 14,68 z^2}. \quad (3.2)$$

В таблицах 1—5 приведены значения коэффициента k и разница между значениями критической нагрузки, вычисленными по формуле (2.4), и значениями, даваемыми классической теорией изгиба плит, для ряда отношений $\frac{h}{R}$ при $\mu = 0.3$.



Фиг. 2.

В табл. 1 приведены результаты для изотропной плиты, а в табл. 2, 3, 4 и 5 даны результаты для трансверсально-изотропной плиты при некоторых отношениях

$$\frac{G}{G_1} = s_0^2, \quad \mu_2 = \frac{E}{E_1}, \quad \mu_1 = 0.25 \frac{E}{E_1}.$$

Таблица 1

Таблица 2

	$\frac{h}{R}$	k	$\frac{T^* - T}{T^*} \cdot 100\%$	$\frac{G}{G_1} = 2$			$\frac{E}{E_1} = 2$				
				$\frac{h}{R}$	k	$\frac{T^* - T}{T^*} \cdot 100\%$	$\frac{h}{R}$	k	$\frac{T^* - T}{T^*} \cdot 100\%$		
Свободно опёртый край	1.6	3.7795	10.012	Свободно опёртый край	1.8	3.715	11.552	Зажатый край	1.8	9.948	32.230
	1.8	3.948	6.000		1.10	3.873	7.788		1.10	11.259	23.370
	1.10	4.035	3.926		1.12	3.966	5.567		1.12	12.118	17.452
	1.12	4.082	2.800								
Зажатый край	1.6	10.404	29.129								
	1.8	11.917	18.824								
	1.10	12.784	12.915								
	1.12	13.312	9.322								

Из приведенных таблиц видно, что расхождение величин критической нагрузки от вычисленных по классической теории во всех случаях является более значительным для зажатой пластинки. Для свободно опертой пластиники вносимая поправка незначительна для изотропных пластинок и существенна для сравнительно толстых трансверсально-изотропных пластинок.

В заключение отметим, что в работе [6] рассмотрена задача об устойчивости зажатой по контуру трансверсально-изотропной пластины на основе гипотезы о нерастяжимом нормальном элементе ($s_2 = 0$, $\mu_2 = 0$) и о параболическом законе распределения касательных напряжений по толщине плиты [1]. Для коэффициента устойчивости k в ра-

Таблица 3

	$\frac{G}{G_1} = 3$	$\frac{E}{E_1} = 3$	
	$\frac{h}{R}$	k	$\frac{T^* - T}{T^*} \cdot 100\%$
Свободно изогнутый край	1/8	3,522	16,140
	1/10	3,734	11,086
	1/12	3,840	8,571
Зажатый край	1/8	8,575	41,586
	1/10	10,079	31,335
	1/12	11,158	23,989

Таблица 4

	$\frac{G}{G_1} = 4$	$\frac{E}{E_1} = 4$	
	$\frac{h}{R}$	k	$\frac{T^* - T}{T^*} \cdot 100\%$
Свободно изогнутый край	1/8	3,340	20,476
	1/10	3,609	14,062
	1/12	3,763	10,398
Зажатый край	1/8	7,529	48,711
	1/10	9,131	37,799
	1/12	10,329	29,642

боте [6] принята формула вида (3.2), в которой вместо α^2 получено выражение

$$\alpha_1^2 = \frac{2E}{5(1-\nu_1^2)G_1} \frac{h^2}{R}. \quad (3.3)$$

Из пяти упругих постоянных для трансверсально-изотропной среды в (3.3) входят только три. Остальные коэффициенты ν_1 и E_1 потеряны при пренебрежении в обобщенном законе Гука нормального напряжения σ_z по сравнению с σ_x и σ_y .

Из сравнения (3.3) с формулой (1.7) для α^2 имеем

$$\frac{\alpha^2}{\alpha_1^2} = 1 - \frac{3}{8} \nu_2 \frac{G_1}{G}. \quad (3.4)$$

Если положить $\nu_2 = 0$, то приходим к соответствующим результатам, полученным в работе [6].

Для изотропной плиты ($G_1 = G$ и $\nu_2 = \nu = 0.3$) получаем $\alpha^2 = 0.887 \alpha_1^2$.

Поэтому коэффициент устойчивости k для изотропной плиты по нашим результатам будет больше, чем по результатам работы [6]. Для изотропной плиты поправка к классической теории в нашей работе совпадает с соответствующей поправкой, полученной в работе [4].

Что же касается трансверсально-изотропной плиты, то отношение α^2/α_1^2 зависит от конкретных значений величины $\nu_2 G_1/G$.

Таблица 5

	$\frac{G}{G_1} = 5$	$\frac{E}{E_1} = 5$	
	$\frac{h}{R}$	k	$\frac{T^* - T}{T^*} \cdot 100\%$
Свободно изогнутый край	1/8	3,126	25,564
	1/10	3,448	17,910
	1/12	3,638	13,373
Зажатый край	1/8	6,468	55,943
	1/10	8,102	44,807
	1/12	9,393	29,202

Ա. Շ. ՊԵՏՈՅԱՆ

ՏՐԱՆՍՎԵՐՏԱ-ԻԶՈՏՐՈՓ ԿԱՐ ԱՎԾ ԿԱՅԱԽՈՒԹՅԱՆ ԵԶՐԱԾ
ՀԱՎԱԽՈՒԹՅԱՓ ԲՈՃԵՎԱԾ ԵԱԲԱԳՈՅԻՆ ԻՆՔԵՐԱԾ ԱՅՆ ԱՅՉՄԱՆ

Ա մ ֆ ո ֆ ո ւ մ

Հողվածում դիմարկում է արականերություն-իզոտրոպ կուլից պատրաստված կոր սալի կարտառմթան խնդիրը. եթե սալի ուժը դորոշ կորով ազդում է համաստրաշափ բաշխութ շառավագին սեղմաղ տեսքը. Այսամթան հիմքում ընկած է սալիրի ճաման ճշգրտութ ակտում [8] տեսամթանը.

A. Sh. PETOYAN

ON THE FIRMNESS OF TRANSVERSAL-ISOTROPIC CIRCULAR PLATE

Տ ս տ մ ա ր յ

In this paper are considered the problems of the stability of circular plate in the case of the action of constant load uniform compression in radial direction for the whole contour.

On the foundation of the solution of these problems lies the specified theory [8] of the plate bend.

Լ Ի Տ Ե Ր Ա Տ Ո Ւ Ր Ա

1. Амбарцумян С. А. К теории изгиба анизотропных пластинок. Известия АН СССР, ОТН, № 5, 1958.
2. Аурье А. И. Пространственные задачи теории упругости. ГИТТА, М., 1955, гл. III и IV.
3. Лехницкий С. Г. Упругое равновесие трансверсально-изотропного слоя и толстой пластики. ПММ, 26, вып. 4, 1962.
4. Муштори Х. М. Теория изгиба панелей средней толщины. Известия АН СССР, ОТН, мех. и машиностр., № 2, 1959.
5. Понятовский В. В. К теории пластин средней толщины. ПММ, 26, вып. 2, 1962.
6. Хачатуровян Т. Т. К теории изгиба и скатия толстых панелей. Известия АН Арм. ССР, серия физ.-мат. наука, 16, № 6, 1963.
7. Хачатуровян А. А. Об устойчивости и колебаниях круговых трансверсально-изотропных пластинок. Известия АН Арм. ССР, серия физ.-мат. наука, 13, № 1, 1960.
8. Петоян А. Ш. К теории изгиба трансверсально-изотропной панели. Сборник научных трудов ЕրПИ, 22, серия строительный механизм, 1964.